

Plazmonika

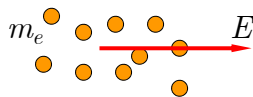
Povrchové plazmony v integrované optice

Typické aplikace:

1. vlnovodné polarizátory
2. SPR senzory
3. vlnovodné struktury využívající povrchové plazmony (plazmonika)

Permitivita kovu (Drudeho model)

„volný“ elektronový plyn v elektromagnetickém poli



Pohybová rovnice: $-m_e \ddot{x} - m_e \gamma \dot{x} - eE = 0$

Pro harmonické pole $E = E_0 \exp(-i\omega t)$

získáme ustálené řešení: $x_0 = \frac{-eE_0}{m_e \omega^2 + im_e \gamma \omega}$

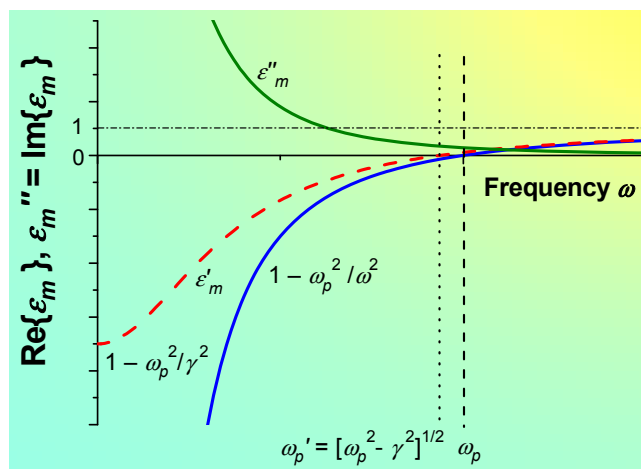
Polarizace: $P_0 = -n_e e x_0 = \frac{-e^2 n_e}{m_e \omega^2 + im_e \gamma \omega} E_0 = \epsilon_0 \chi E_0$

Permitivita: $\epsilon_m = 1 + \chi = 1 - \frac{e^2 n_e / (m_e \epsilon_0)}{\omega^2 + i\gamma \omega} = 1 - \frac{\omega_p^2}{\omega^2 + i\gamma \omega}$

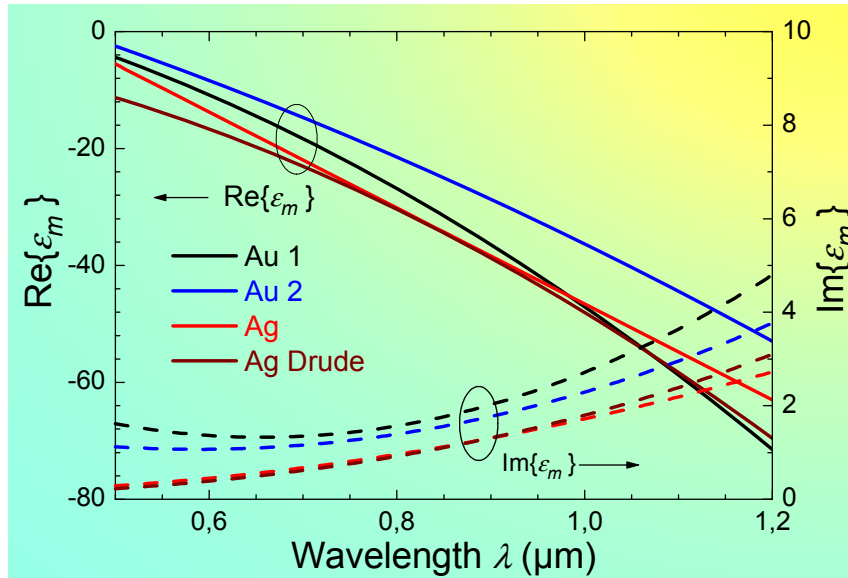
Plazmová frekvence $\omega_p = e \sqrt{\frac{n_e}{m_e \epsilon_0}}$

Disperze kovu (Drudeho model)

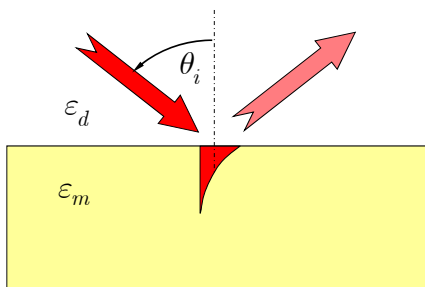
$$\epsilon_m = \epsilon'_m + i\epsilon''_m = 1 - \frac{\omega_p^2}{\omega^2 + \gamma^2} + i \frac{\omega_p^2 \gamma}{\omega(\omega^2 + \gamma^2)}$$



Disperze kovu (experimentální data)



Odraz optického záření od rozhraní s kovem



$$R^{TE} = \frac{\sqrt{\epsilon_d - N^2} - \sqrt{\epsilon_m - N^2}}{\sqrt{\epsilon_d - N^2} + \sqrt{\epsilon_m - N^2}}$$

$$R^{TM} = \frac{\frac{\sqrt{\epsilon_d - N^2} - \sqrt{\epsilon_m - N^2}}{\epsilon_m} - \frac{\sqrt{\epsilon_d - N^2} - \sqrt{\epsilon_m - N^2}}{\epsilon_d}}{\frac{\sqrt{\epsilon_d - N^2} - \sqrt{\epsilon_m - N^2}}{\epsilon_m} + \frac{\sqrt{\epsilon_d - N^2} - \sqrt{\epsilon_m - N^2}}{\epsilon_d}}$$

$$N = \sqrt{\epsilon_d} \sin \theta_i$$

Pro **reálná** $\epsilon_m < 0$,

$$\sqrt{\epsilon_m - N^2} = i\sqrt{N^2 - \epsilon_m}$$

$$\text{and } |R^{TE}| = |R^{TM}| = 1.$$

Pro **komplexní** ϵ_m ,

$$|R^{TE}| < 1, |R^{TM}| < 1.$$

Povrchová plazmová vlna (povrchový plazmon-polariton, povrchový plazmon)

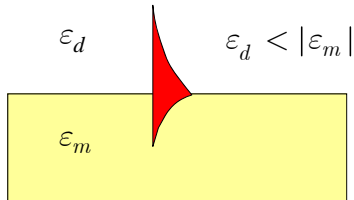
Vzájemně vázaná elektromagnetická a nábojová povrchová vlna
localizovaná na rozhraní mezi dielektrikem a kovem

Pól $R(N^2) \Rightarrow N^2$ povrchové vlny

TE: $\sqrt{\varepsilon_d - N^2} + \sqrt{\varepsilon_m - N^2} = 0$ neexistuje řešení

TM: $\varepsilon_m \sqrt{\varepsilon_d - N^2} + \varepsilon_d \sqrt{\varepsilon_m - N^2} = 0$ **povrchový plazmon**

$$N_{SP} = \sqrt{\frac{\varepsilon_d \varepsilon_m}{\varepsilon_d + \varepsilon_m}}$$



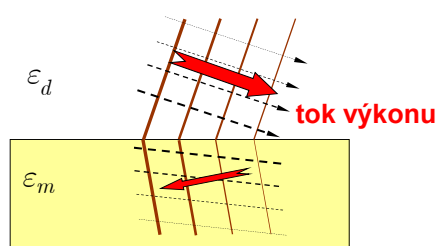
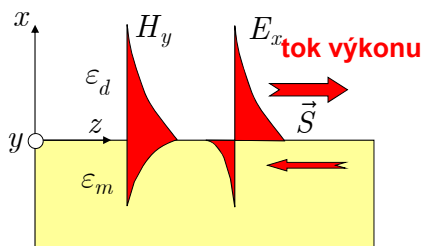
Rozložení pole povrchového plazmonu

$$H_y(x, z) = H_0 e^{ik_0 N z} \begin{cases} e^{-k_0 \sqrt{N^2 - \varepsilon_d} x}, & x > 0 \\ e^{k_0 \sqrt{N^2 - \varepsilon_m} x}, & x < 0 \end{cases} \quad \begin{cases} 1/k_0 \sqrt{N^2 - \varepsilon_d} = 265 \text{ nm} \\ 1/k_0 \sqrt{N^2 - \varepsilon_m} = 26 \text{ nm} \end{cases}$$

$$E_x(x, z) = Z_0 N H_0 e^{ik_0 N z} \begin{cases} \frac{1}{\varepsilon_d} e^{-k_0 \sqrt{N^2 - \varepsilon_d} x}, & x > 0 \\ \frac{1}{\varepsilon_m} e^{k_0 \sqrt{N^2 - \varepsilon_m} x}, & x < 0 \end{cases}$$

Pro $\gamma = 0, \text{Im}\{N\} = 0$

Pro $\gamma > 0, \text{Im}\{N\} > 0$



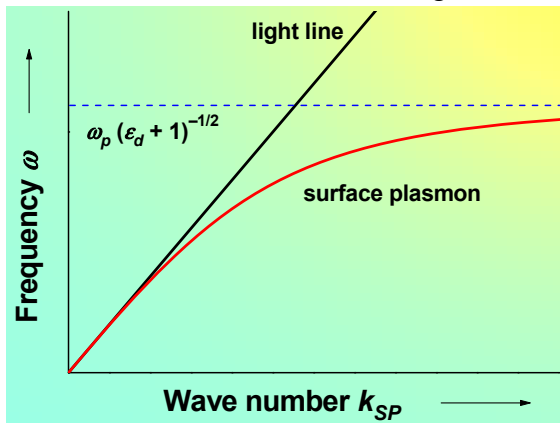
Disperzní vlastnosti povrchového plazmonu

Pro $\gamma = 0$, $\omega < \omega_p / \sqrt{(\epsilon_d + 1)}$

$$k_{SP} = \frac{\omega}{c} N_{SP} = \frac{\omega n_d}{c} \sqrt{\frac{\omega_p^2 - \omega^2}{\omega_p^2 - \omega^2 (\epsilon_d + 1)}}$$

“light line”

faktor < 1



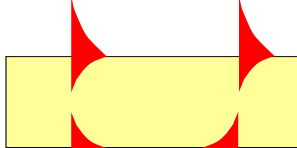
$\text{Re}\{N_{SP}\} > n_d \Rightarrow$

PP je **pomalá vlna**

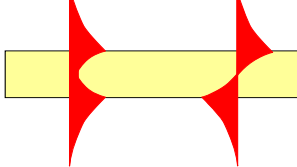
nemůže být excitována zářením z dielektrika

Povrchové plazmony na kovové vrstvě

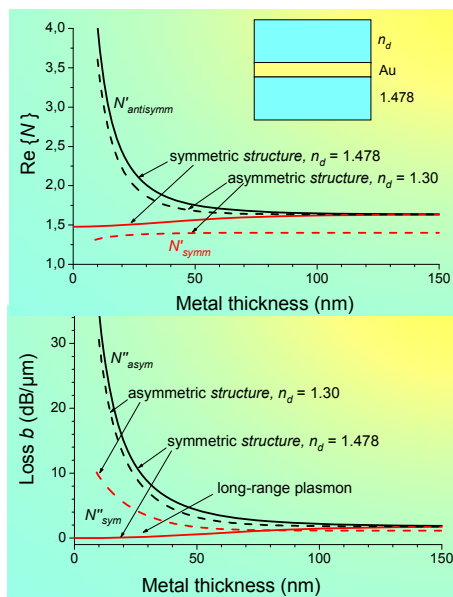
nevázané PP



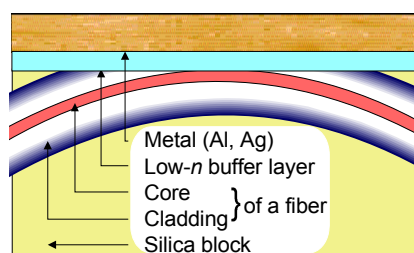
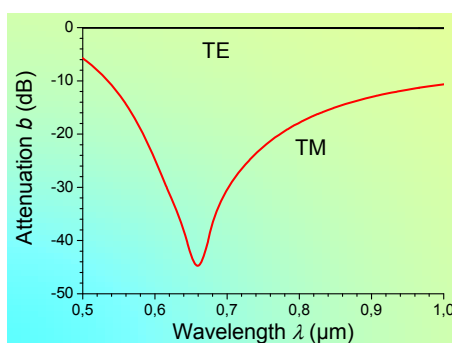
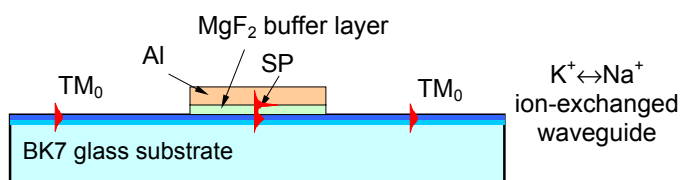
vázané PP



symetrický (vůči H_x) antisymetrický PP



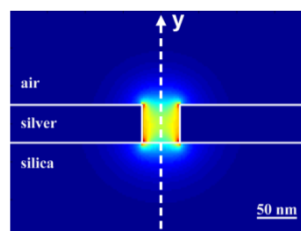
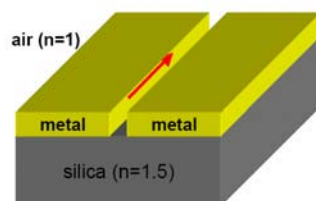
Vlnodný polarizátor založený na rezonanční excitaci PP



„Plazmonika“

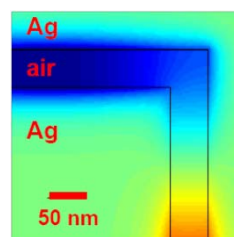
(„fotonika“ využívající povrchových plazmonů)

2D vedení povrchového plazmonu



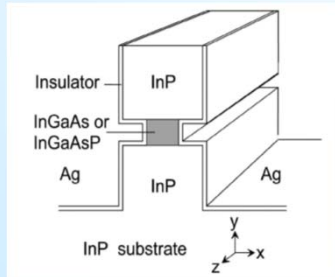
SP umožňuje lokalizovat optické záření ve velmi malém objemu,
Silný útlum v důsledku „ohmických“ ztrát v kovovém materiálu umožňuje šíření jen na vzdálenosti řádu 1-100 μm

90° ohyb

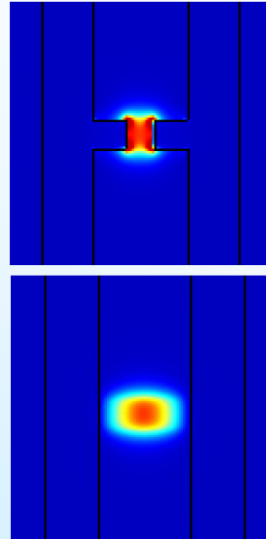


Koncept „plazmonového polovodičového laseru“

(M. Hill, ECIO 2007)

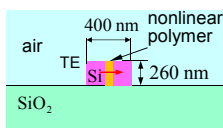


Rozměry aktivní oblasti laseru
26 × 26 × 82 nm



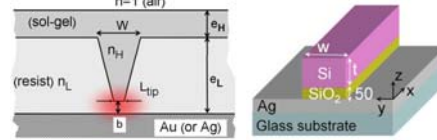
HYBRID DIELECTRIC-PLASMONIC SLOT WAVEGUIDE (HDPSW)

SOI "slot waveguide"



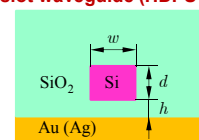
C. Koos & al., *Nat. Photonics* 3(4), 16–219 (2009)

PIROW – plasmonic inverted rib optical waveguide

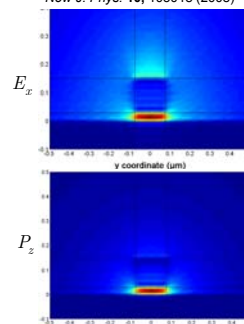
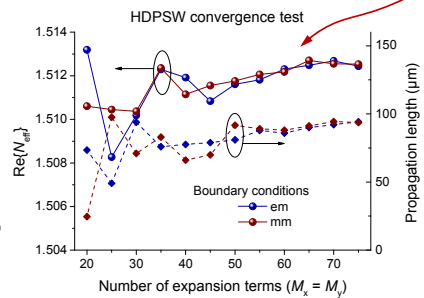
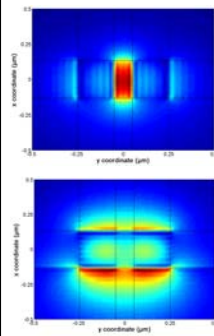


H. Benisty and M. Besbes, *J. Appl. Phys.* 108(6), 063108 (2010).

Hybrid dielectric-plasmonic slot waveguide (HDPSW)

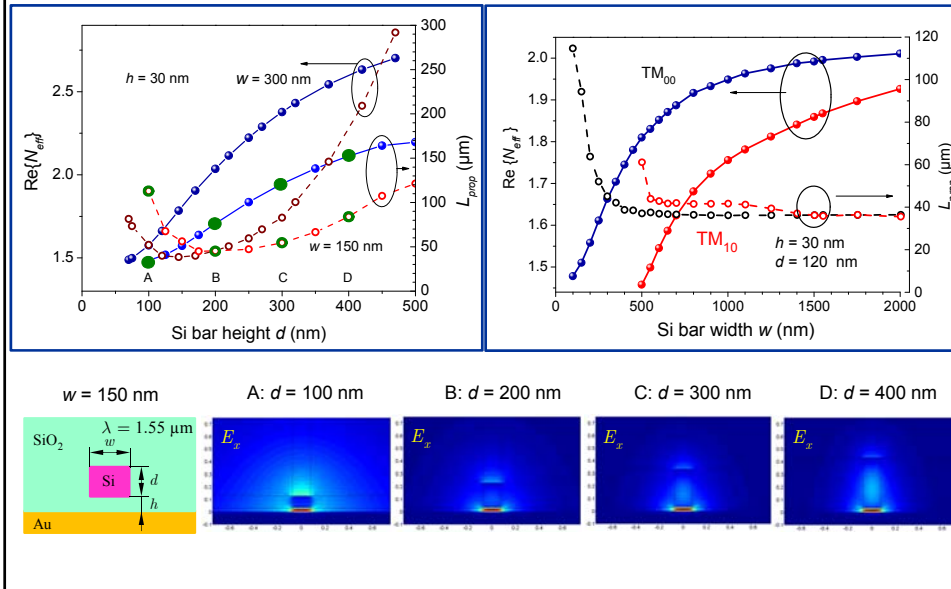


R. F. Oulton & al., *Nat. Photonics* 2, 496 (2008); R. F. Oulton & al., *New J. Phys.* 10, 105018 (2008)

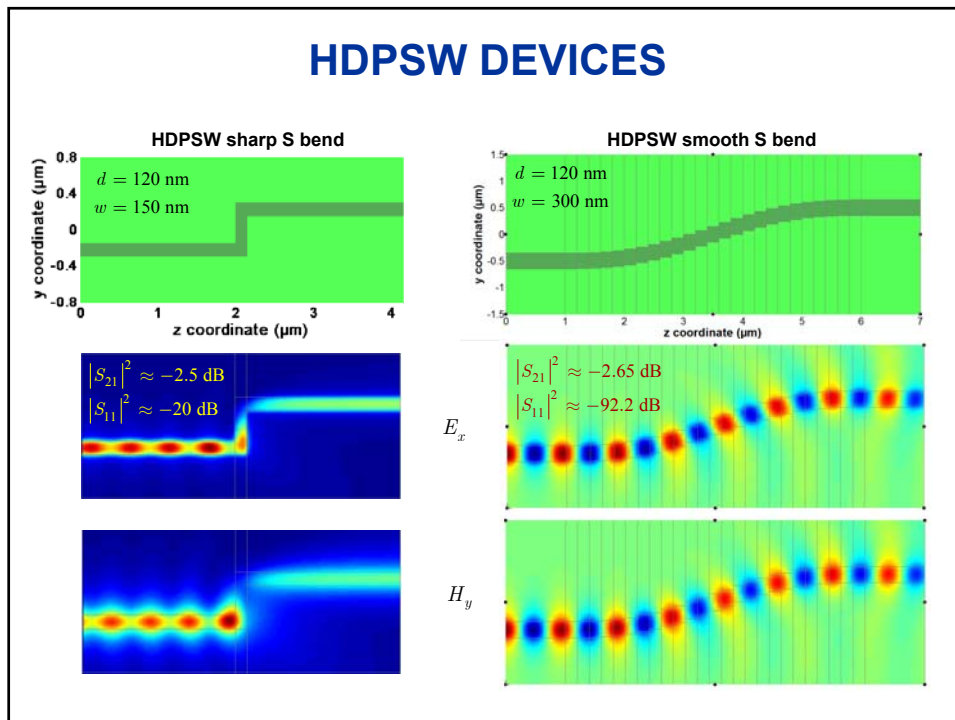


HDPSW PROPERTIES

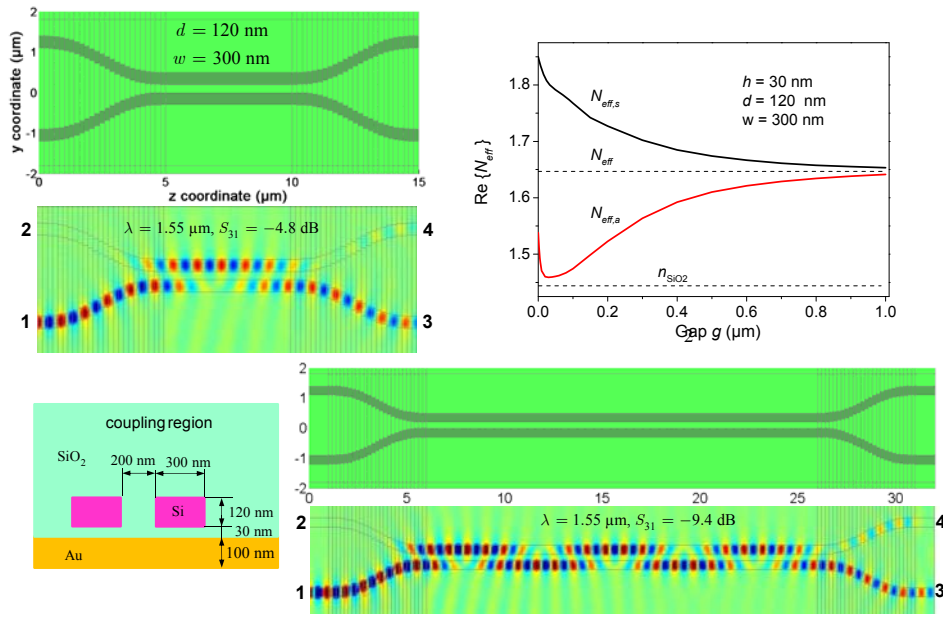
Influence of basic geometric parameters



HDPSW DEVICES

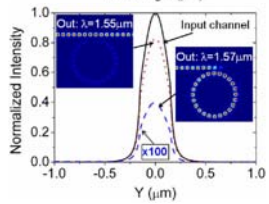
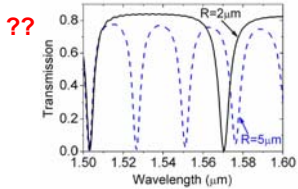
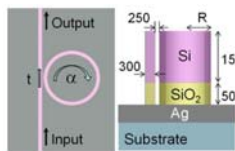


DIRECTIONAL COUPLER

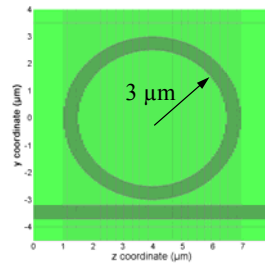


RING MICRORESONATOR

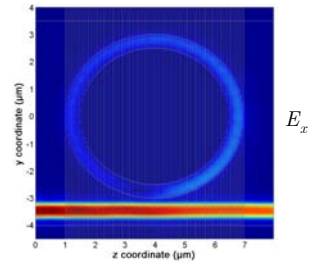
H.S. Chu et al., JOSA B 28, 2895 (2011)



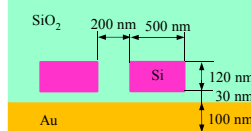
Present work



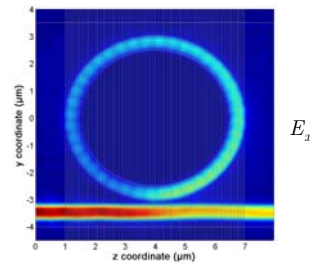
Off-resonance: $\lambda = 1.55 \mu\text{m}$, $S_{21} = -2 \text{ dB}$



coupling region

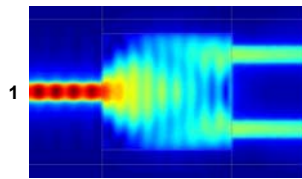
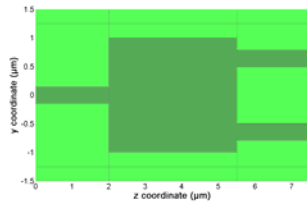


On-resonance: $\lambda = 1.57 \mu\text{m}$, $S_{21} = -4 \text{ dB}$



MULTIMODE INTERFERENCE COUPLER

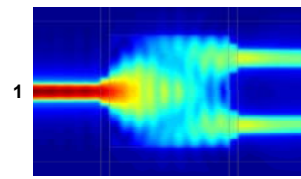
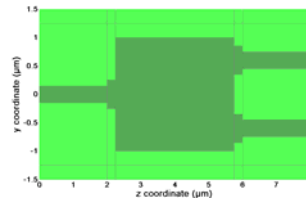
1x2 MMI – simple configuration



$$S_{11} = -24 \text{ dB}$$

$$S_{21} = -6 \text{ dB}$$

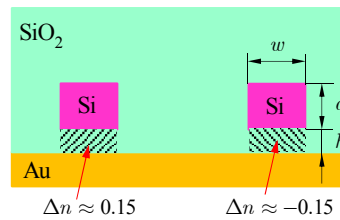
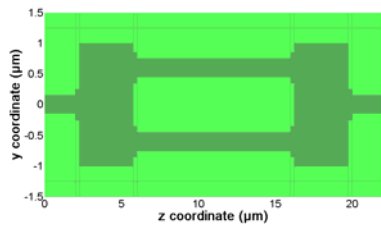
1x2 MMI – improved configuration



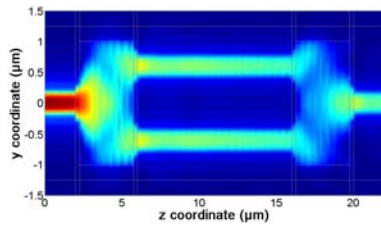
$$S_{11} = -51 \text{ dB}$$

$$S_{21} = -5.5 \text{ dB}$$

MACH-ZEHNDER INTERFEROMETER



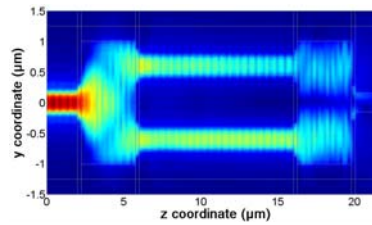
“On” state



$$S_{11} = -37 \text{ dB}$$

$$S_{21} = -6 \text{ dB}$$

“Off” state



$$S_{11} = -25 \text{ dB}$$

$$S_{21} = -21 \text{ dB}$$

Optické senzory

Optické vláknové senzory

Základní typy vláknových senzorů:

1. Extrinsické: optické vlákno slouží **k přenosu** informace (signálu)
2. Intrinsické (vlastní): vlákno slouží **jako čidlo**
3. Smíšené (nelze jednoznačně odlišit obě funkce)

Příklady extrinsického senzoru:

Optická závora s vláknovým vstupem a výstupem;
Senzor chemických veličin založený na fotoluminiscenci

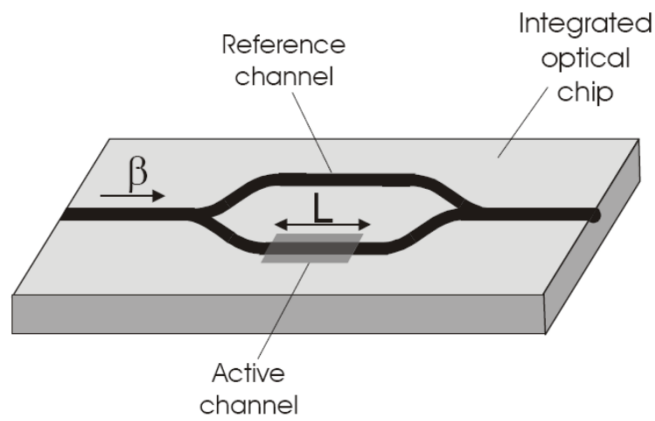
Příklady intrinsického senzoru:

Vlákno s Braggovou mřížkou; vláknový gyroskop

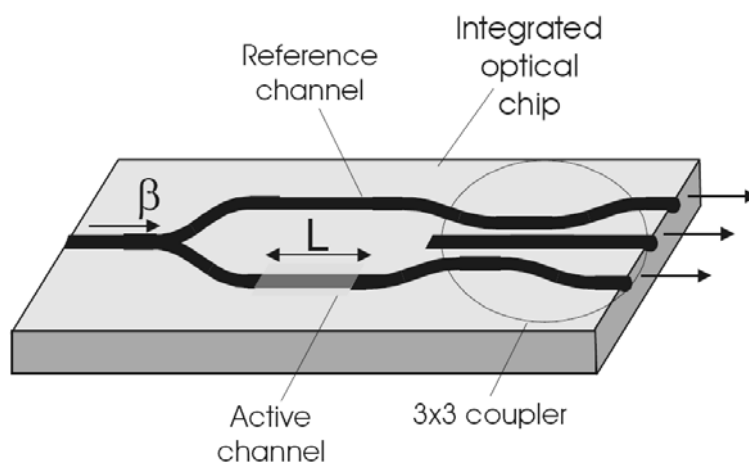
Příklady smíšeného senzoru:

Čidlo polohy založené na vazbě mezi vlákny;
Biochemický senzor využívající rezonanční excitace povrchových plazmonů

Vlnodný senzor na bázi Machova – Zehnderova interferometru

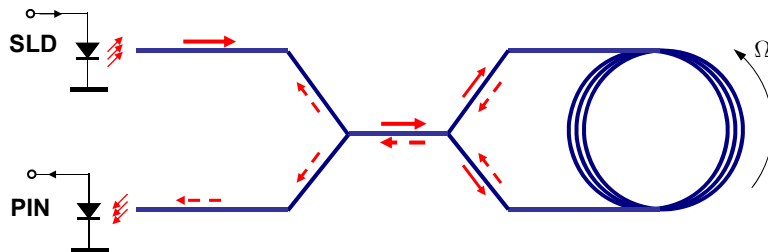


Vlnodný Machův – Zehnderův interferometr s vazebním členem 3×3



Vláknový optický gyroskop

Sagnakovův fázový posuv optického záření — **relativistický efekt**



Rotuje-li smyčka vůči inerciální soustavě úhlovou rychlostí Ω ,
vzniká mezi vlnami šířícími se v opačných směrech **fázový posuv**

$$\Delta\varphi_S = \frac{2\pi}{\lambda c} LD\Omega = \frac{8\pi^2}{\lambda c} R^2 N\Omega,$$

D je průměr cívky, R poloměr, N počet závitů, L celková délka vlákna,
 λ vlnová délka optického záření (ve vakuu)

Aproximativní odvození Sagnakova posuvu s pomocí speciální teorie relativity

Označme t^+ resp. t^- dobu průchodu optického záření smyčkou ve směru
úhlové rotace a v protisměru. Fázový posuv je pak dán výrazem

$$\Delta\varphi_S = \omega(t^+ - t^-), \quad \text{v němž } \omega = 2\pi c/\lambda \text{ je kruhová frekvence záření.}$$

Označme podobně v^+ resp. v^- fázovou rychlost optického signálu šířícího se
ve směru rotace a v protisměru. Pak

$$\Delta\varphi_S = \omega \left(\frac{L}{v^-} - \frac{L}{v^+} \right) = \frac{2\pi cL}{\lambda} \left(\frac{1}{v^-} - \frac{1}{v^+} \right)$$

Podle pravidla pro relativistické skládání rychlostí $v = (v_1 + v_2)/(1 + v_1 v_2/c^2)$

platí $v^\pm = \frac{c/n \pm R\Omega}{1 \pm \frac{R\Omega}{nc}}$, kde c/n je fázová rychlost šíření vidu ve vlákně,

$R\Omega$ je postupná obvodová rychlost bodu na obvodu smyčky.

Za dobu t^\pm se smyčka potočí o úhel Ωt^\pm , dráha se tedy prodlouží (zkrátí) o $\pm R\Omega t^\pm$:

$$\text{Pak } t^\pm = \frac{2\pi RN \pm \Omega R t^\pm}{v^\pm}, \quad \text{neboli } t^\pm = \frac{2\pi RN}{v^\pm} \left(1 \pm \frac{\Omega R}{v^\pm} \right) \approx \frac{2\pi RN}{v^\pm} \left(1 \pm \frac{n\Omega R}{c} \right).$$

Poněvadž $\frac{1}{v^{\pm}} = \frac{1 \pm \frac{R\Omega}{nc}}{\frac{c}{n} \pm R\Omega} \approx \frac{n}{c} \left(1 \pm \frac{R\Omega}{nc}\right) \left(1 \mp \frac{nR\Omega}{c}\right)$, platí v prvním řádu Ω

$$t^{\pm} \approx \frac{2\pi RNn}{c} \left(1 \pm \frac{n\Omega R}{c}\right) \left(1 \pm \frac{R\Omega}{nc}\right) \left(1 \mp \frac{nR\Omega}{c}\right) \approx 2\pi RN \left(\frac{n}{c} \pm \frac{R\Omega}{c^2}\right).$$

Pro Sagnakovův posuv pak dostaneme

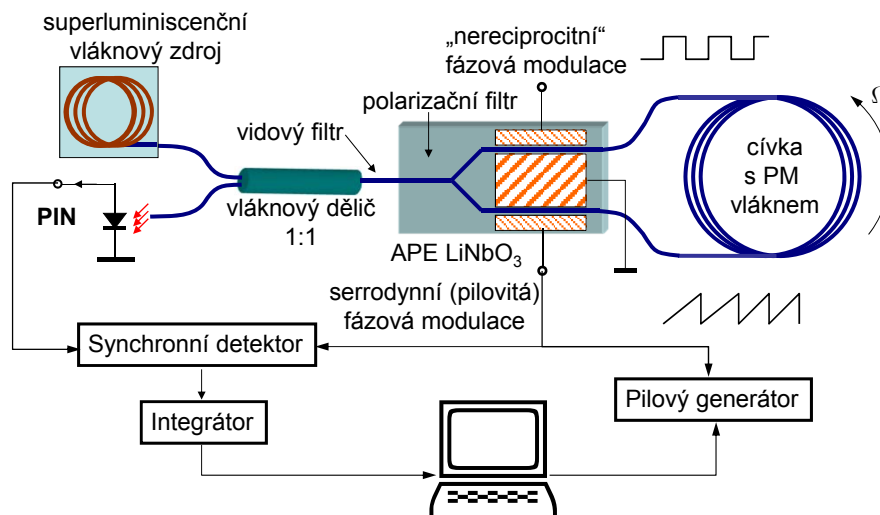
$$\Delta\varphi_S = \omega(t^+ - t^-) = 4\omega\pi RN \frac{R\Omega}{c^2} = \frac{8\pi^2}{\lambda c} R^2 N \Omega = \frac{2\pi}{\lambda c} LD\Omega.$$

Pro aplikaci v gyroskopech je zásadní, že **Sagnakovův posuv nezávisí na indexu lomu** vlákna. Nemhou se proto uplatnit ani jeho fluktuace (např. vlivem teploty aj.)

Řádový odhad velikosti Sagnakova posuvu: pro $\lambda = 1 \mu\text{m}$, $L = 1 \text{ km}$, $D = 10 \text{ cm}$ a $\Omega = 15^\circ/\text{hod.}$ (rychlost úhlové rotace Země) je $\Delta\varphi_S = 1.52 \times 10^{-4} \text{ rad} = 8.7 \times 10^{-3} \text{ }^\circ$.

Aplikace v inerciální navigaci vyžadují měřit úhlovou rotaci v rozmezí cca $0,2^\circ/\text{h}$ až po $720^\circ/\text{s}$, tj. v rozmezí téměř 8 řádů (!!!)

Technická realizace vláknového optického gyroskopu



Popis funkce

„Nereciproční“ modulace (obdélníková nebo sinusová) s periodou $T \approx t^{\pm}$

- nastavuje pracovní bod do inflexního bodu fázové charakteristiky
- umožňuje tak rozlišit směr rotace a zvýšit citlivost

Serodynní modulace se zdvihem 2π posouvá kmitočet optické vlny o opakovací frekvenci modulátoru f . Tím dochází k fázovému posuvu $\Delta\varphi = 2\pi fT$, jímž se kompenzuje Sagnakov posuv. Výstupem je pak *frekvence* úměrná Sagnakovu posuvu.

Aplikace

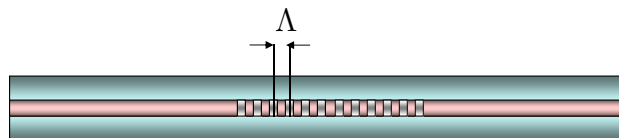
Vojevnství (navigace letadel, navádění raket, ...)

Inerciální navigace dopravních letadel (3 × gyroskop pro 3 osy + 3 × akcelerometr)

Levné gyroskopy – automobilový průmysl (regulace tuhosti nápravy podle kmitání poloosy detekované vláknovým gyroskopem)

....

Braggovské mřížky v optickém vlákně - 1



$$k = \frac{2\pi}{\lambda_B} N_{eff}$$
$$K = \frac{2\pi}{\Lambda}$$
$$2k = K \Rightarrow \Lambda = \frac{\lambda_B}{2N_{eff}}$$

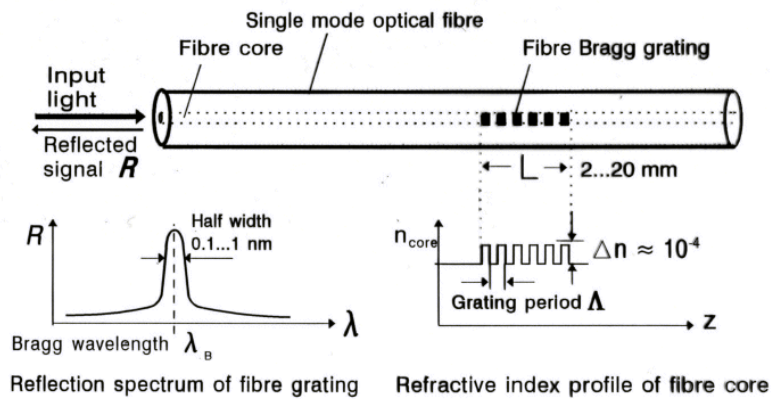
Braggovské mřížky **zpětně odrážejí** optické záření v úzkém pásmu vlnových délek

Vytváření: holografický záznam UV expozicí (excimerový KrF laser)

Aplikace: měření deformací, namáhání, pnutí, teploty

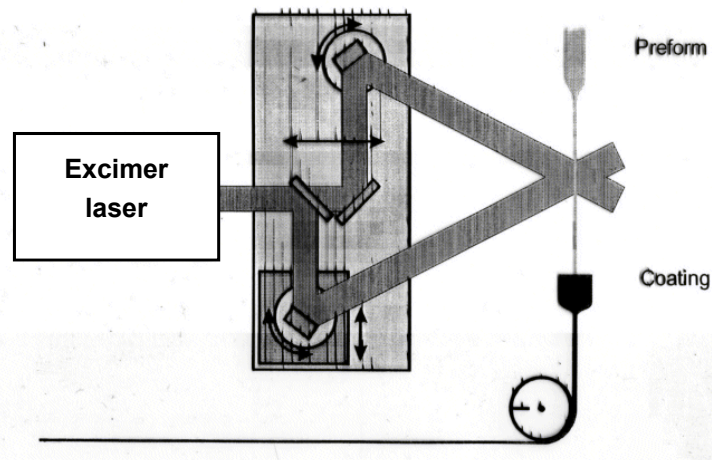
Braggské mřížky v optickém vlákně - 2

Structure of Optical Fibre Gratings

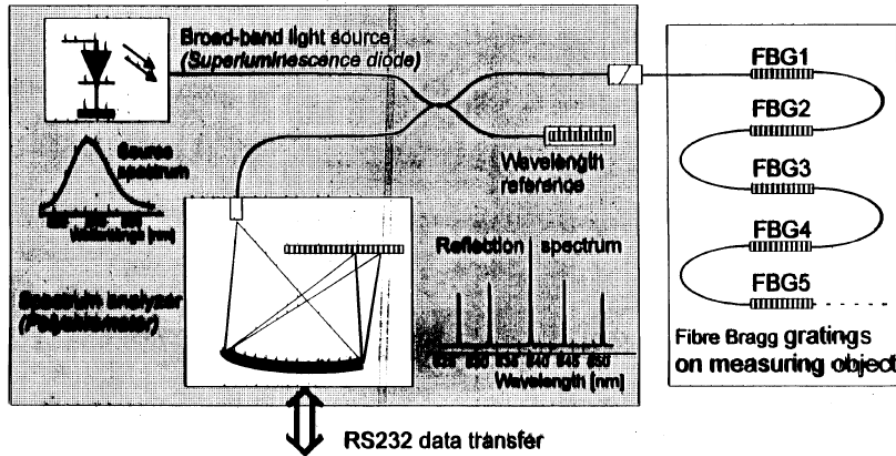


„Zápis“ mřížek UV zářením do jádra vlákna

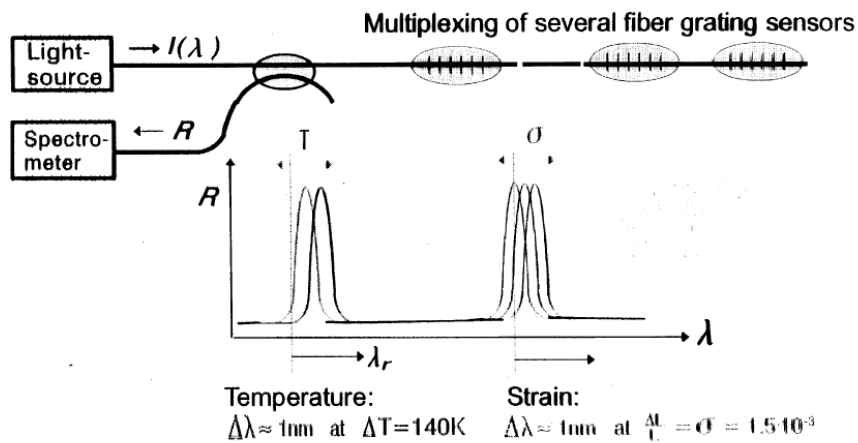
Fibre Grating Inscription in Interferometer Arrangement during Fibre Drawing Process



Spectroscopic Evaluation of Fibre-Optic Sensor Network

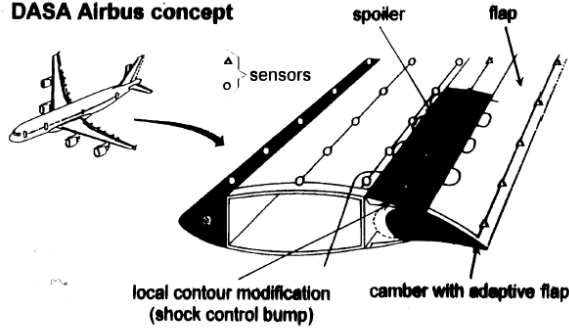


Application of Optical Fiber Gratings Sensor Network for Measurement of Temperature and Strain



Adaptive wing

DASA Airbus concept

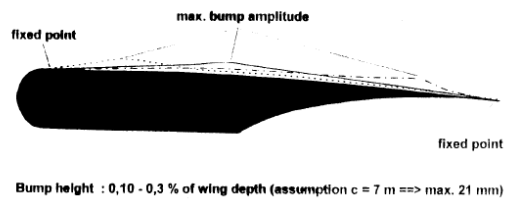


objectives:

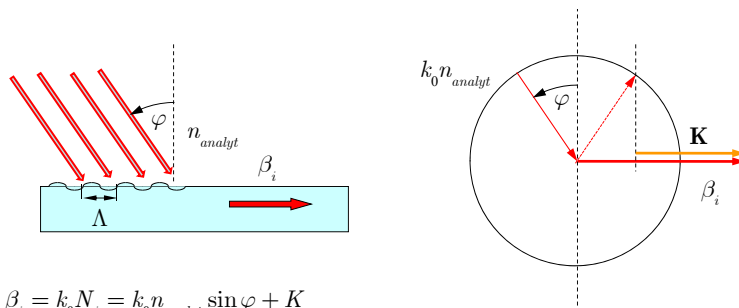
- improved fuel economy
- increased payload
- lower operating costs

Bragg grating application:

measurement of the contour modification
of variable wing geometries (e.g. position
of the shock control bump).



Vlnodivný senzor založený na excitaci vlnovodu mřížkou



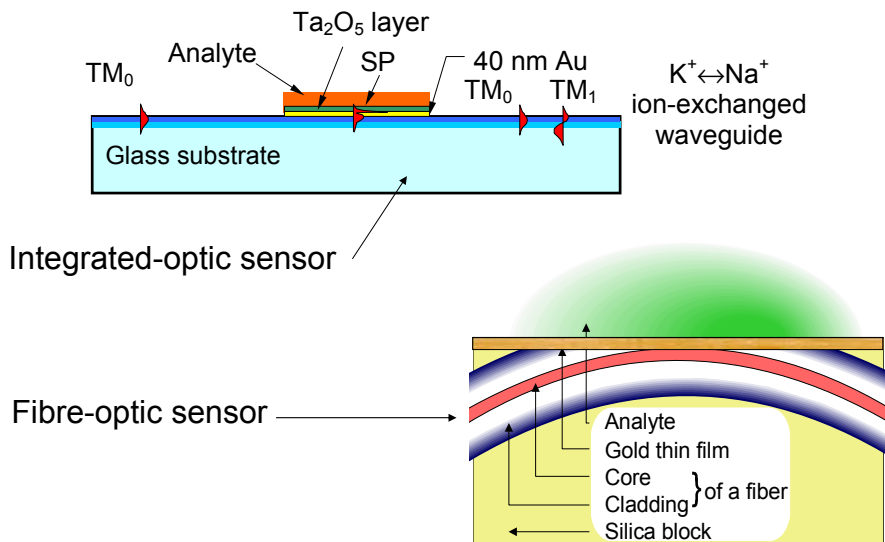
$$\beta_i = k_0 N_i = k_0 n_{analyt} \sin \varphi + K$$

$$k_0 N_i = k_0 n_{analyt} \sin \varphi + K, \quad n_{analyt} = \frac{N_i - \lambda/\Lambda}{\sin \varphi},$$

$$\delta n_{analyt} = -\left(N_i - \lambda/\Lambda\right) \frac{\cos \varphi}{\sin^2 \varphi} \delta \varphi = -\frac{N_i - \lambda/\Lambda}{\sin \varphi \tan \varphi} \delta \varphi$$

Měřením malých změn synchronního úhlu φ
můžeme určovat změnu indexu lomu analytu.

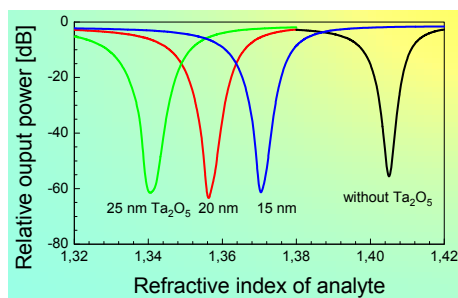
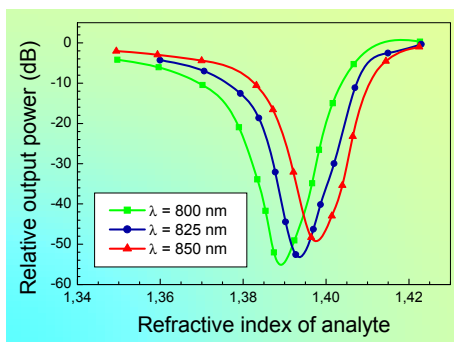
Vlnodné senzory využívající rezonanční excitace povrchových plazmonů



Průchod optického záření senzorem s PP

1. závislost na indexu lomu analytu (zkoumaného prostředí)

2D (planární) model

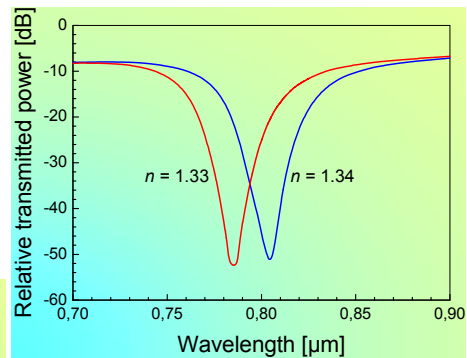
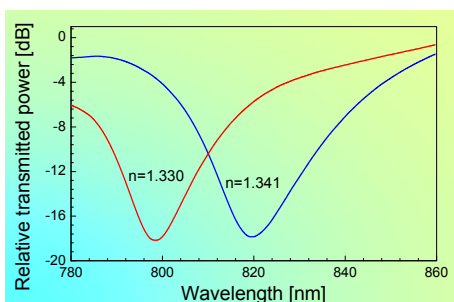


měření laditelným
Ti:safírovým laserem

Průchod optického záření IO senzorem s PP

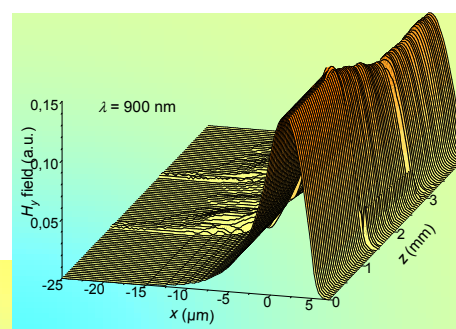
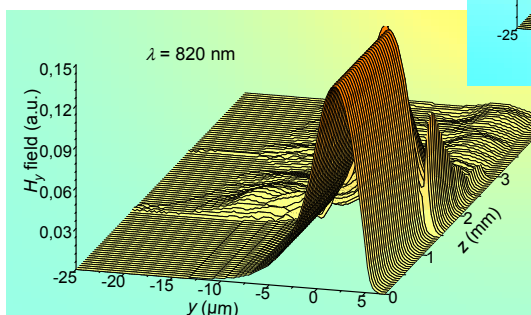
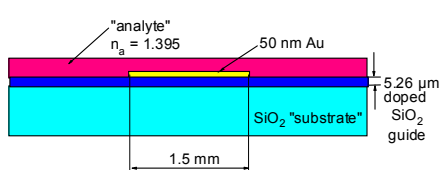
2. spektrální závislost

2D (planární) model

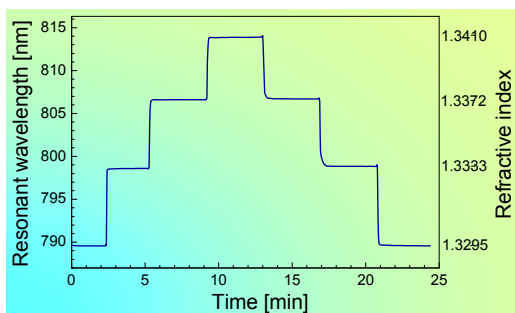
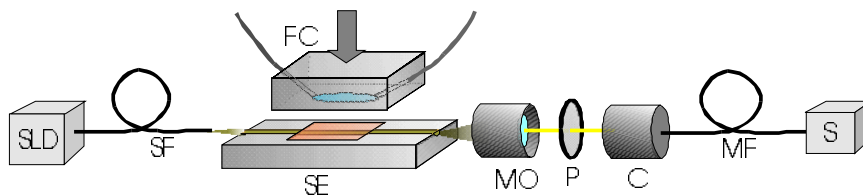


měřeno s širokopásmovou SLD a spektrálním analyzátozem

Rozložení optického záření ve vlnovodu s úsekem, na němž se může šířit PP

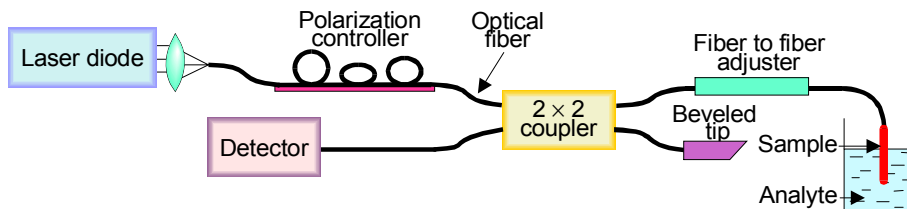
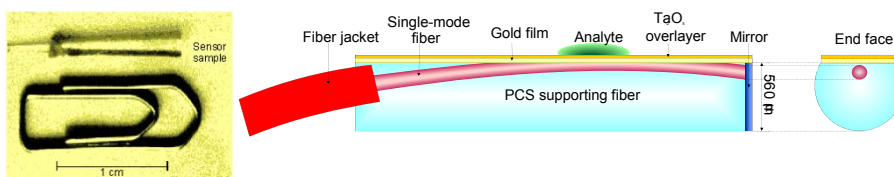


Experimentální uspořádání integrováně-optického senzoru s PP



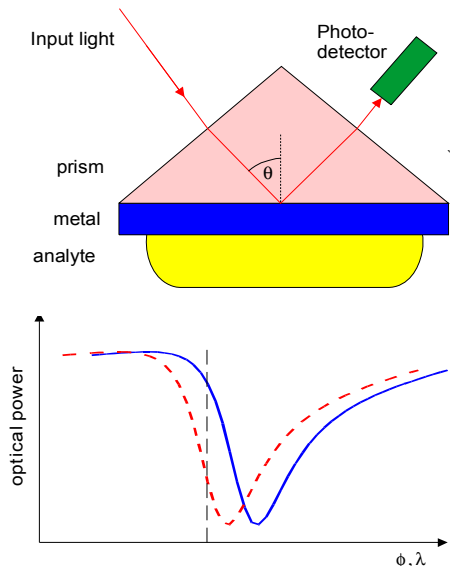
Rozlišení změn indexu lomu
menších než 1.2×10^{-6}

Miniaturised surface plasmon resonance fibre-optic sensor

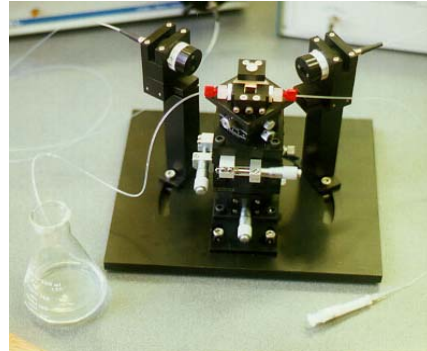


Refractive index resolution better than 2×10^{-5}

Objemové senzory s PP



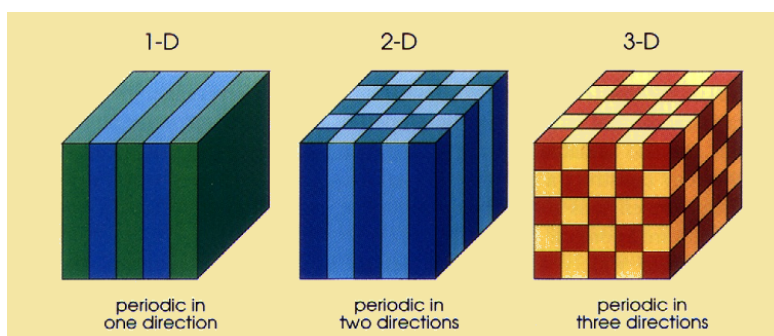
Rozlišení změn indexu lomu
menších než 5×10^{-7}



Fotonické krystaly

Fotonické krystaly

1D, 2D nebo 3D periodické struktury s velkým kontrastem permittivity



E. Yablonovitch: „Inhibited spontaneous emission in solid-state physics and electronics“, *Phys. Rev. Lett.*, vol. 58, pp. 2059–2062, 1987

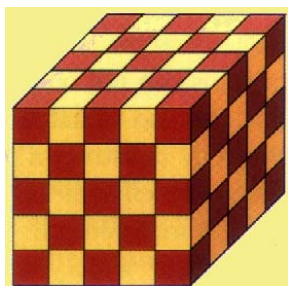
J. D. Joannopoulos *et al.*: *Photonic Crystals: molding the flow of light*, Princeton University Press 1995

S. G. Johnson, J. D. Joannopoulos: *Photonic Crystals, The road from theory to practice*, Kluwer Academic Publishers 2003

J.-M. Lourtioz *et al.*: *Photonic Crystals : Towards Nanoscale Photonic Devices*, Springer 2005
...

Fotony se v periodickém dielektrickém prostředí pohybují „podobně“ jako **elektrony** v periodickém potenciálovém poli

Za jistých podmínek existuje **zakázaný pás energií fotonů**. Fotony s energií uvnitř zakázaného pásu se v periodickém prostředí nemohou šířit, záření se tudíž **totálně odráží zpět**



Z pohledu vlnové optiky jde o **braggovský odraz vlny od periodického prostředí**. Totální odraz je možno využít k vytvoření **optických vlnodů ve fotonických krystalech**

Vytvořit trojrozměrné periodické prostředí je však technologicky obtížné.

“Pohybové rovnice” pro elektrony a fotony v krystalech

Schrödingerova rovnice pro elektron v periodickém potenciálu:

$$\left[-\frac{\hbar^2}{2m_e^*} \Delta + V(\mathbf{r}) \right] \psi(\mathbf{r}) = E \psi(\mathbf{r}) \quad V(\mathbf{r} + \mathbf{a}) = V(\mathbf{r}) \quad K = \frac{2\pi}{|\mathbf{a}|}$$

$$\psi(\mathbf{r}) = \sum_m u_m(\mathbf{r}) e^{im\mathbf{K}\cdot\mathbf{r}}$$

periodický potenciál vlnová funkce energie fotonu (Floquetova)-Blochova vlna,

Aproximativní (jednočásticové) přiblížení

“Vlnová rovnice” pro fotony v periodické permitivitě

$$\nabla \times \mathbf{E} = i\omega\mu_0 \mathbf{H}, \quad \nabla \times \mathbf{H} = -i\omega\varepsilon_0 \varepsilon(\mathbf{r}) \mathbf{E},$$

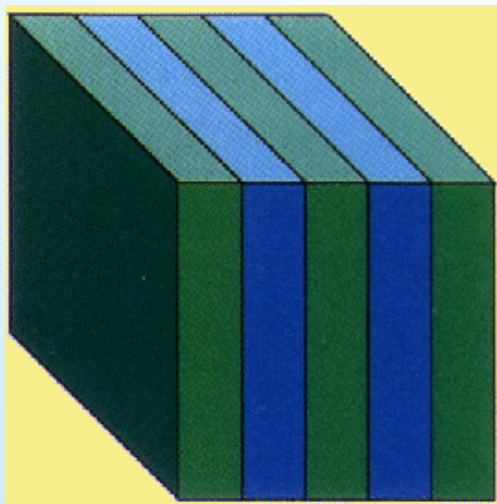
$$\nabla \times \left(\frac{1}{\varepsilon(\mathbf{r})} \nabla \times \mathbf{H}(\mathbf{r}) \right) = \left(\frac{\omega}{c} \right)^2 \mathbf{H}(\mathbf{r})$$

Přesná
 (“mnohočásticová”)
 teorie

Rovnice pro vlastní hodnoty energie fotonů a F-B funkce

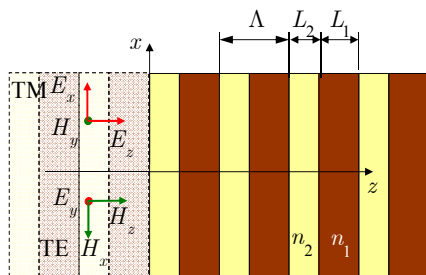
Tento přístup je jednoduchý a průzračný,
 ale standardně nebere v úvahu *disperzi permitivity* $\varepsilon(\mathbf{r}, \omega)$

Periodická vrstevnatá struktura jako jednorozměrný fotonický krystal



Jednorozměrný fotonický krystal

Existence zakázaného pásu odvozená metodou přenosové matice
(fotonická analogie Kronigova - Penneyova modelu krystalu)



Normalizace souřadnic a vln. vektorů

$$\xi = k_0 x, \quad \zeta = k_0 z, \quad k_0 = 2\pi / \lambda$$

$$\mathbf{k}_l = k_0 (\gamma \mathbf{x}^0 + N_l \mathbf{z}^0), \quad l = 1, 2, \dots, L$$

$$\gamma^2 + N_l^2 = \epsilon_l = \begin{cases} n_1^2 & \gamma - \text{příčná konst.} \\ n_2^2 & \text{šíření **stejná**} \end{cases}$$

konst. šíření

Elektromagnetické pole je popsáno komplexními amplitudami $p_l(\zeta), q_l(\zeta)$

TE

TM

$$\begin{aligned} E_{y,l}(x, z) &= \sqrt{2k_0 Z_0 / N_l} p_l(\zeta) e^{i\gamma \xi}, & H_{y,l}(x, z) &= \sqrt{2k_0 Y_0 \epsilon_l / N_l} p_l(\zeta) e^{i\gamma \xi}, & Z_0 &= \sqrt{\frac{\mu_0}{\epsilon_0}}, \\ H_{x,l}(x, z) &= -\sqrt{2k_0 Y_0 N_l} q_l(\zeta) e^{i\gamma \xi}, & E_{x,l}(x, z) &= \sqrt{2k_0 Z_0 N_l / \epsilon_l} q_l(\zeta) e^{i\gamma \xi}, & Y_0 &= \sqrt{\frac{\epsilon_0}{\mu_0}}, \\ H_{z,l}(x, z) &= \sqrt{2k_0 Y_0 / N_l} \gamma p_l(\zeta) e^{i\gamma \xi}, & E_{z,l}(x, z) &= -\sqrt{2k_0 Y_0 / (\epsilon_l N_l)} \gamma p_l(\zeta) e^{i\gamma \xi}, \end{aligned}$$

Elektromagnetické Floquetovy – Blochovy vidy

Průchod l -tou vrstvou je popsán přenosovou maticí \mathbf{A}_l ,
$$\begin{pmatrix} p_l(\zeta + \Delta\zeta) \\ q_l(\zeta + \Delta\zeta) \end{pmatrix} = \mathbf{A}_l \cdot \begin{pmatrix} p_l(\zeta) \\ q_l(\zeta) \end{pmatrix}, \quad \mathbf{A}_l = \begin{pmatrix} \cos N_l \Delta\zeta & i \sin N_l \Delta\zeta \\ i \sin N_l \Delta\zeta & \cos N_l \Delta\zeta \end{pmatrix},$$

průchod rozhraním $l \rightarrow l+1$ a $l+1 \rightarrow l$ je popsán maticemi

$${}^{l+1,l} \mathbf{A} = \begin{pmatrix} \rho & 0 \\ 0 & 1/\rho \end{pmatrix}, \quad \rho = \sqrt{N_{l+1} / N_l} \quad \text{pro TE polarizaci a}$$

$${}^{l,l+1} \mathbf{A} = \begin{pmatrix} 1/\rho & 0 \\ 0 & \rho \end{pmatrix}, \quad \rho = \sqrt{N_{l+1} \epsilon_l / N_l \epsilon_{l+1}} \quad \text{pro TM polarizaci.}$$

Přenosová matice jedné celé periody je ${}^\Lambda \mathbf{A} = {}^{12} \mathbf{A} \cdot {}^{21} \mathbf{A} \cdot {}^{11} \mathbf{A} \cdot {}^{22} \mathbf{A}$.

Floquetův-Blochův „vid“ (vlna) je definován pomocí vlastní funkce matice ${}^\Lambda \mathbf{A}$,

$${}^\Lambda \mathbf{A} \cdot \begin{pmatrix} p_1^F \\ q_1^F \end{pmatrix} = s \begin{pmatrix} p_1^F \\ q_1^F \end{pmatrix}, \quad s = \exp(i\varphi^F), \quad \varphi^F = k^F \Lambda, \quad k^F \text{ je konstanta šíření F-B vidu.}$$

k^F je určen až na aditivní konstantu $K = 2\pi / \Lambda$: $\exp(ik^F \Lambda) = \exp[i(k^F + K)\Lambda]$

Proto stačí určit k^F v intervalu $-K/2 < k^F \leq K/2 \Rightarrow$ první Brillouinova zóna.

Vlastní hodnoty a fotonický zakázaný pás

Označme $\Lambda = L_1 + L_2$, $\varphi_1 = k_0 N_1 L_1$, $\varphi_2 = k_0 N_2 L_2$,

matice ${}^{\Lambda}A$ má pak vlastní čísla

$$s = \cos \varphi_1 \cos \varphi_2 - \frac{1}{2} \left(\rho^2 + \frac{1}{\rho^2} \right) \sin \varphi_1 \sin \varphi_2 \pm \sqrt{\left[\cos \varphi_1 \cos \varphi_2 - \frac{1}{2} \left(\rho^2 + \frac{1}{\rho^2} \right) \sin \varphi_1 \sin \varphi_2 \right]^2 - 1}.$$

FB vid se „šíří“, jen pokud $|s| = 1$, t.j., pokud

$$\left| \cos \varphi_1 \cos \varphi_2 - \frac{1}{2} \left(\rho^2 + \frac{1}{\rho^2} \right) \sin \varphi_1 \sin \varphi_2 \right| \leq 1.$$

Normovaná konstanta šíření je pak

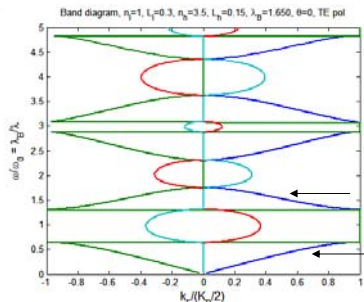
$$k^{F'} = \frac{k^F}{K/2} = \frac{1}{\pi} \arccos \left[\cos \left(\frac{\omega}{c} N_1 L_1 \right) \cos \left(\frac{\omega}{c} N_2 L_2 \right) - \frac{1}{2} \left(\rho^2 + \frac{1}{\rho^2} \right) \sin \left(\frac{\omega}{c} N_1 L_1 \right) \sin \left(\frac{\omega}{c} N_2 L_2 \right) \right].$$

Pokud $\left| \cos \left(\frac{\omega}{c} N_1 L_1 \right) \cos \left(\frac{\omega}{c} N_2 L_2 \right) - \frac{1}{2} \left(\rho^2 + \frac{1}{\rho^2} \right) \sin \left(\frac{\omega}{c} N_1 L_1 \right) \sin \left(\frac{\omega}{c} N_2 L_2 \right) \right| > 1$,

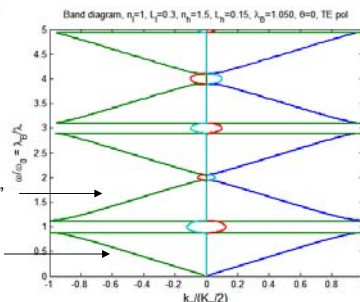
k^F je komplexní, a vlna se nemůže šířit podél nekonečně dlouhého krystalu.
Tak vzniká **fotonický zakázaný pás**.

Pásová struktura jednorozměrného krystalu

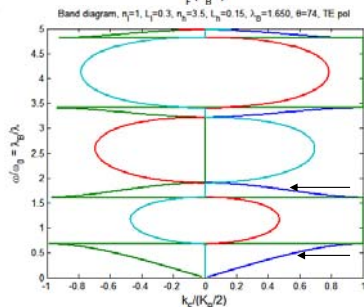
$n_1 = 1$
 $n_2 = 3.5$
 $\theta = 0^\circ$



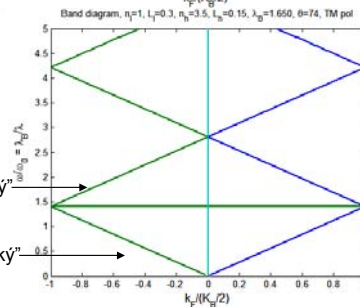
$n_1 = 1$
 $n_2 = 1.5$
 $\theta = 0^\circ$



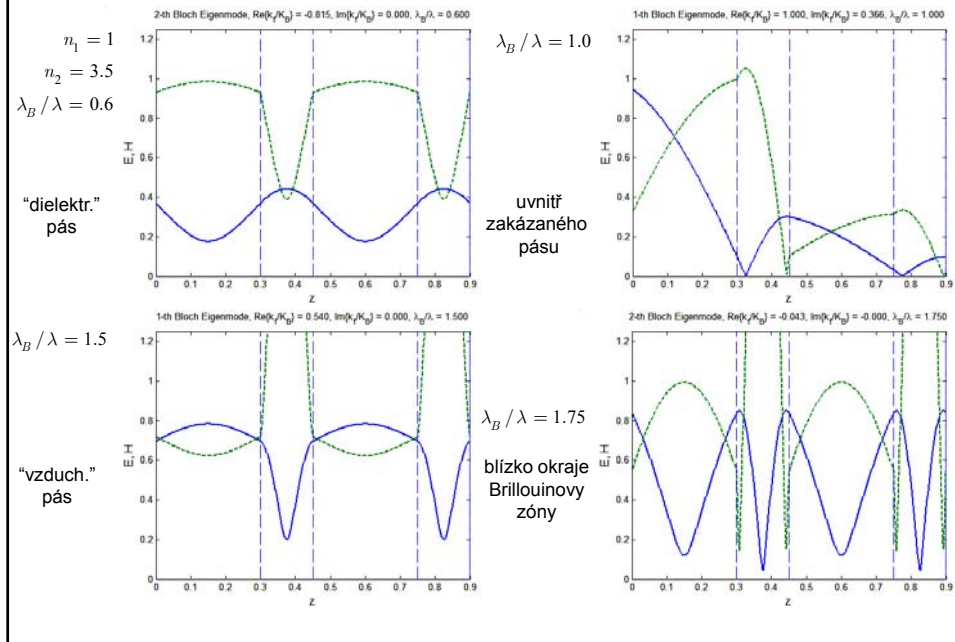
TE
 $\theta = 74^\circ$



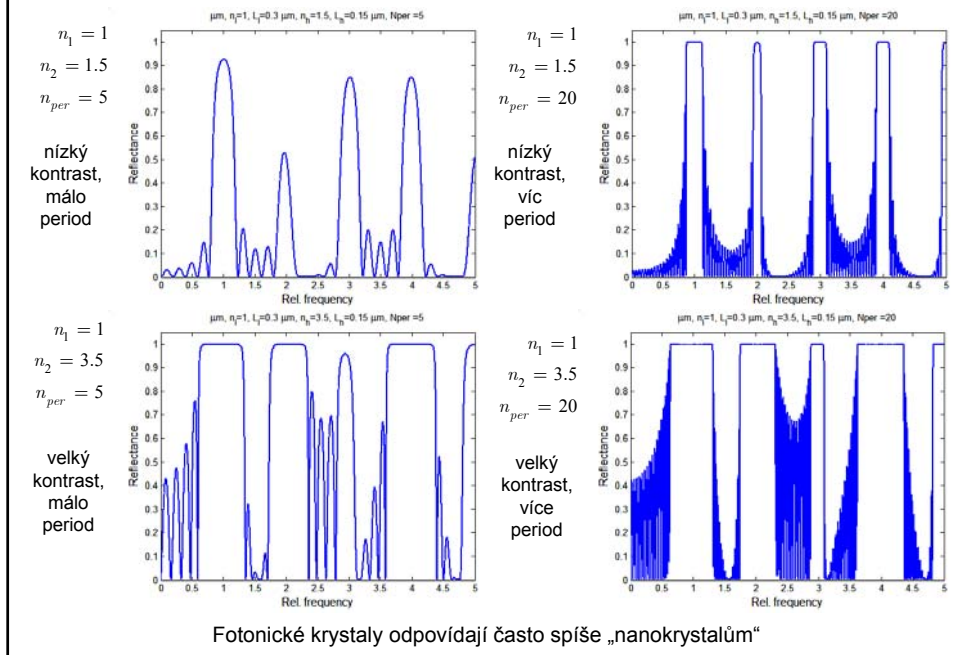
TM
 $\theta = 74^\circ$



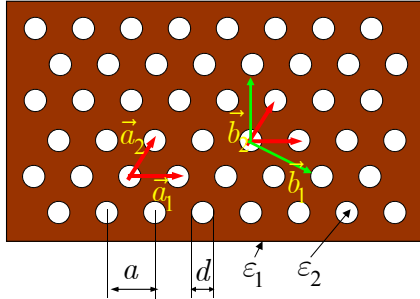
Elektromagnetické Floquetovy – Blochovy vlny



Spektrální reflektance



Dvozměrné „fotonické krystaly“



Periodické uspořádání otvorů;
Blochův – Floquetův teorém

$$\begin{Bmatrix} E_z \\ H_z \end{Bmatrix} = u_{\vec{k}}(\vec{r}_{\parallel}) e^{i\vec{k}\cdot\vec{r}_{\parallel}} e^{i\vec{G}\cdot\vec{r}_{\parallel}},$$

$$u_{\vec{k}}(\vec{r}_{\parallel}) = u_{\vec{k}}(\vec{r}_{\parallel} + \vec{a}_1) = u_{\vec{k}}(\vec{r}_{\parallel} + \vec{a}_2)$$

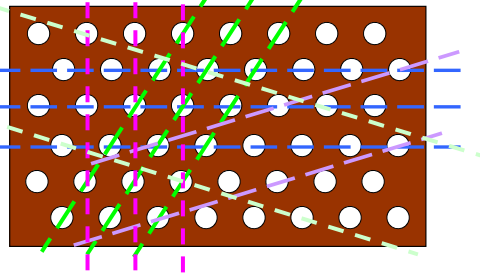
$$\vec{G} = m\vec{b}_1 + n\vec{b}_2; \quad m, n \text{ celé}$$

Elementární vektory prostorové mřížky

$$\vec{a}_1 = (a, 0); \quad \vec{a}_2 = (a/2, \sqrt{3}a/2)$$

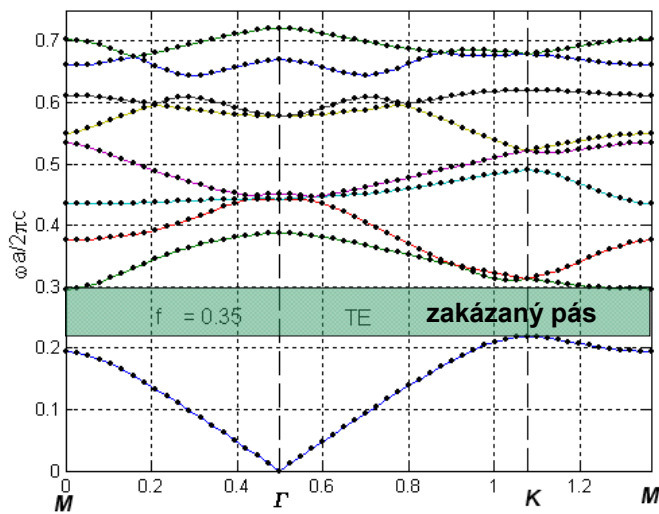
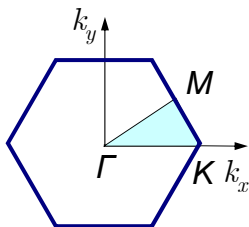
Elementární vektory reciproké mřížky

$$\vec{b}_1 = \left(\frac{1}{a}, \frac{1}{a\sqrt{3}}\right), \quad \vec{b}_2 = \left(0, \frac{2}{a\sqrt{3}}\right)$$

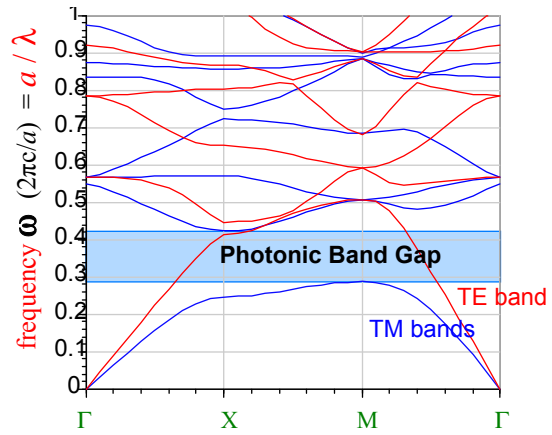
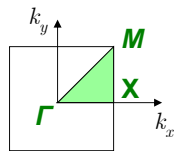
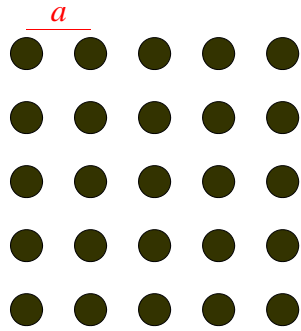


Pásový diagram energií fotonů 2D krystalu s trojúhelníkovou mřížkou

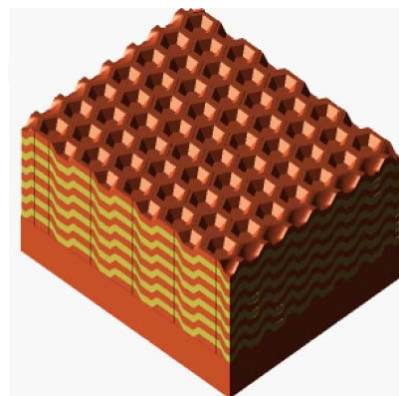
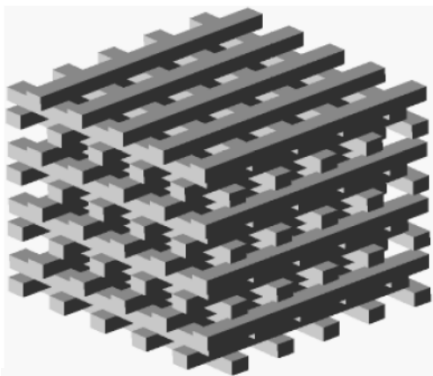
první
Brillouinova
zóna
prostoru
vlnových vektorů



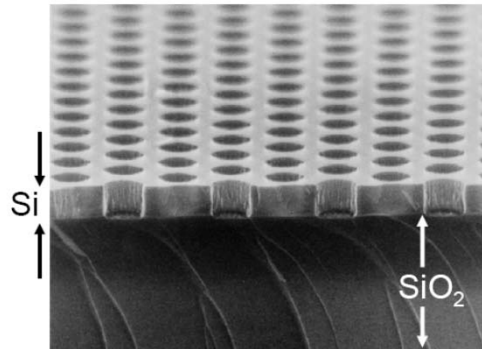
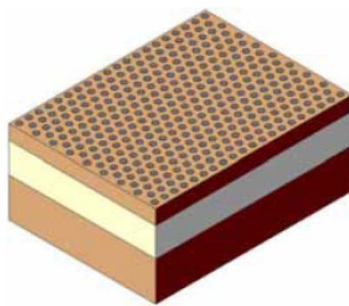
Pásový diagram energií fotonů 2D krystalu se čtvercovou mřížkou



Příklady trojdimenzionálních fotonických krystalů

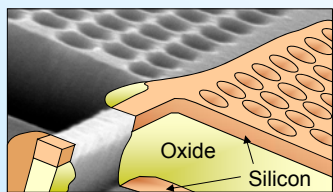


„2.5-dimenzionální fotonické krystaly“

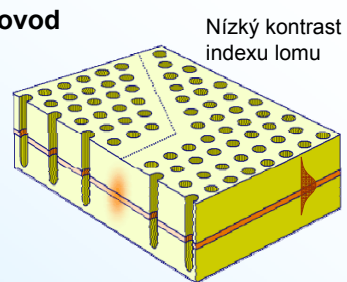


Fotonické krystaly × vlnovody

1. 2D fotonický krystal + vertikální vlnovod

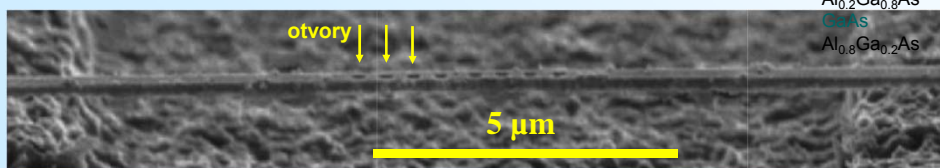


Vysoký
kontrast
indexu
lomů



Nízký kontrast
indexu lomu

2. Čárový 2D dielektrický vlnovod s 1D „fotonickým krystalem“



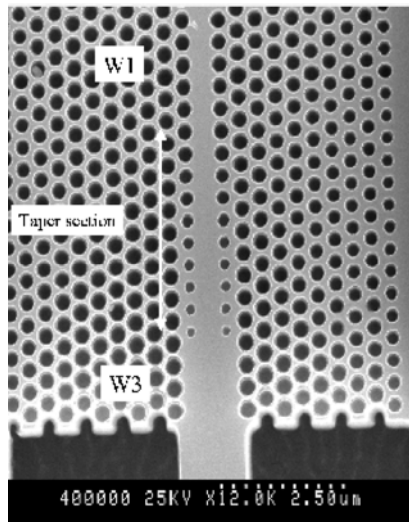
otvory ↓ ↓ ↓

5 μm

Al_{0,2}Ga_{0,8}As
GaAs
Al_{0,8}Ga_{0,2}As

Vazba s vlnovodem ve fotonickém krystalu

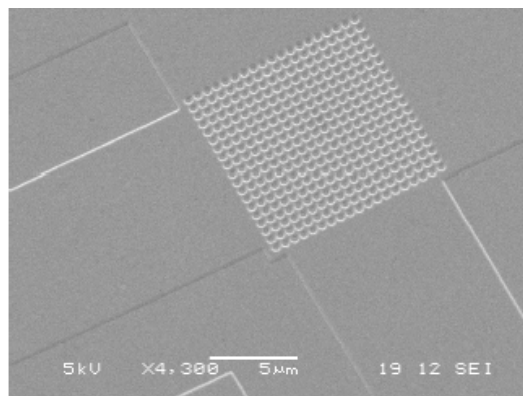
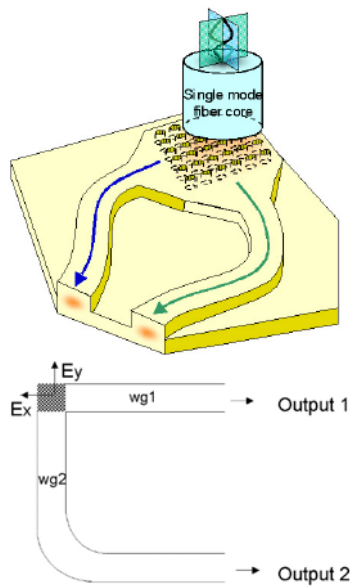
CNRS – LPN, Anne Talneau, Ph. Lalanne

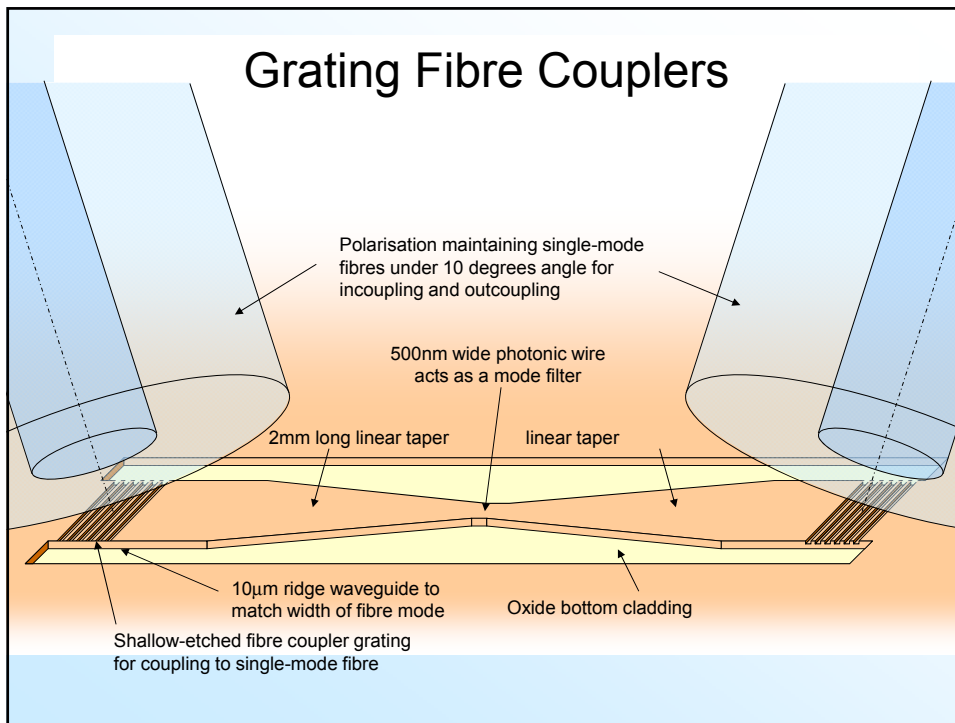


CNRS French patent
(2001)

Vlnovodné aplikace: polarizačně nezávislý mřížkový vazební člen

Ghent University, *Picco*





Photonic Crystals: Periodic Surprises in Electromagnetism

Steven G. Johnson
MIT

<http://ab-initio.mit.edu/photons/tutorial/>